

## Оптимальная настройка дискриминатора регистрирующего тракта спектрометра в ГР-эксперименте

С. В. СИНИЦЫН

Рассмотрен выбор оптимальной настройки дискриминатора регистрирующего тракта спектрометра в гамма-резонансном-эксперименте в геометрии прохождения. Установлено, что ширина «окна» дискриминатора должна составлять полторы ширины регистрируемого пика резонансного  $\gamma$ -излучения на половине его высоты. При этом положение середины «окна» дискриминатора должно соответствовать положению максимума регистраируемого пика резонансного  $\gamma$ -излучения.

The choice of optimal tuning of discriminator of spectrometer registering circuit in Mössbauer experiment in sample beam geometry is considered. It is determined that the width of discriminator «window» ought to be one and a half width of peak resonance gamma-radiation on half of its height. In that case the middle of «window» ought to correspond to the place of maximum of registered peak of resonanse gamma-radiation.

В [1] была рассмотрена задача выбора оптимальной, толщины исследуемого образца с целью уменьшения статистической погрешности измерения в гамма-резонансном (ГР)-эксперименте в геометрии пропускания. Статистическую погрешность измерения можно уменьшить также другим способом, а именно, выбором оптимальной настройки дискриминатора регистрирующего тракта спектрометра. Задача выбора оптимальной настройки дискриминатора регистрирующего тракта спектрометра в ГР-эксперименте в геометрии пропускания не рассматривалась до сих пор в литературе. Решение данной задачи не имеет аналогов в физическом эксперименте, что обусловлено особенностями ГР-эксперимента в геометрии пропускания. Эти особенности заключаются в следующем. Во-первых, необходимо регистрировать  $\gamma$ -излучение, прошедшее исследуемый образец, который по своей природе представляет совокупность резонансного и нерезонансного фильтров  $\gamma$ -излучения. Параметры [1] исследуемого образца как резонансного, так и нерезонансного фильтров могут изменяться от эксперимента к эксперименту. Более того, достаточно часто на практике эти параметры и вовсе не известны. Во-вторых, в ГР-эксперименте настройку дискриминатора спектрометра проводят в «амплитудном» режиме, а спектр регистрируют во «временном» режиме работы спектрометра. Данное обстоятельство обуславливает сложную связь между величинами, измеряемыми в ГР-эксперименте, с одной стороны, интенсивностью регистрируемого  $\gamma$ -излучения и его энергетическим составом, с другой стороны. Следует отметить также, что часто на практике исследуемый образец имеет произвольную толщину. Поэтому рассмотрим задачу выбора оптимальной настройки дискриминатора регистрирующего тракта спектрометра, когда в ГР-эксперименте в геометрии пропускания исследуется образец неизвестного химического состава и произвольной толщины  $d$ .

В [1] указывалось, что проведение измерений в ГР-эксперименте в геометрии пропускания упрощается, если исключить из регистрируемого потока  $\gamma$ -квантов характеристическое рентгеновское излучение мессбауэровского источника. Поэтому будем считать далее, что присутствием характеристического рентгеновского излучения мессбауэровского источника можно пренебречь в регистрируемом потоке  $\gamma$ -квантов.

Известно, что при проведении ГР-эксперимента решаются следующие две основные задачи для исследуемого вещества: определение мессбауэровских параметров (изомерного сдвига, константы квадрупольного взаимодействия, эффективного магнитного поля на ядре) или идентификация фазового состава по положению монолиний на спектре;

определение вероятности эффекта Мессбауэра  $f'$  или концентрации с искомой фазой через измерение интенсивности спектра.

Согласно [2] решение последней задачи основано на измерении либо амплитуды  $A$ , либо площади  $S$  монолинии на ГР-спектре:

$$A = N_{\infty} - N_0, \quad (1)$$

$$S = \frac{4}{n_0} \sum_{i=1}^{n_s} (N_{\infty} - N_i), \quad (2)$$

где  $N_0$  — число импульсов в резонансе;  $N_{\infty}$  — фон, определяемый в результате обработки информации из  $n_f$  каналов спектра;  $N_i$  — число импульсов в  $i$ -ом канале спектра;  $n_s$  — число каналов в спектре;  $n_0$  — выраженная в каналах спектра ширина резонансного энергетического уровня ядра мессбауэровского изотопа, используемого в ГР-эксперименте при отсутствии внешних магнитных и электрических полей.

С другой стороны, учитывая [1, 2], имеем

$$A = \alpha \beta [1 - I_0(\sigma_r d / 2) \exp(-\sigma_r d / 2)] \exp(-\mu_r d) \sqrt{tpI_S}; \quad (3)$$

$$S = \alpha \beta \pi \sigma_r d [I_0(\sigma_r d / 2) + I_1(\sigma_r d / 2)] \exp(-\mu_r d) \sqrt{tpI_S}; \quad (4)$$

$$N_{\infty} = [(1 - \alpha) \exp(-\mu_n d) + \alpha \exp(-\mu_r d)] \sqrt{tpI_S}, \quad (5)$$

где  $\alpha$  — доля резонансных  $\gamma$ -квантов в общем потоке регистрируемого  $\gamma$ -излучения мессбауэровского источника в отсутствии исследуемого образца;  $\beta$  — доля резонансных  $\gamma$ -квантов, испущенных без отдачи, в общем потоке резонансного  $\gamma$ -излучения мессбауэровского источника;  $\mu_r$  и  $\sigma_r$  — коэффициенты соответственно нерезонансного и резонансного ослабления резонансных  $\gamma$ -квантов;  $\mu_n$  — коэффициент ослабления нерезонансных  $\gamma$ -квантов;  $t$  — время измерения спектра исследуемого образца;  $I_S$  — суммарная интенсивность  $\gamma$ -излучения, регистрируемая в «окне» дискриминатора при «амплитудном» режиме работы спектрометра и отсутствии исследуемого образца;  $p$  — коэффициент, связывающий  $I_S$  со скоростью счета  $\gamma$ -квантов в любом канале спектрометра при «временном» режиме его работы и отсутствии исследуемого образца;  $I_0$  и  $I_1$  — функции Бесселя соответственно нулевого и первого порядков.

Согласно [3] для  $\gamma$ -излучения энергии от 10 до 200 кэВ, что соответствует энергии  $\gamma$ -квантов, испускаемых мессбауэровскими источниками, коэффициент  $\mu_r$  на два-три порядка превышает  $\mu_n$ . Кроме того, на практике выполняются соотношения  $n_s \gg 1$  и  $n_f \gg 1$ . Тогда из (1), (3), (5) следует, что при определении  $f'$  или  $c$ , основанном на измерении  $A$ , относительная статистическая погрешность измерения имеет вид

$$\Delta_a = \frac{2 \sqrt{1 - \alpha + \alpha \exp(-\mu_r d)} \sqrt{1 - A/N_{\infty}}}{\sqrt{tpI_S} \alpha \beta \sigma_r d [I_0(\sigma_r d / 2) + I_1(\sigma_r d / 2)] \exp[-(\mu_r + \sigma_r / 2)d]}. \quad (6)$$

Аналогично из (2), (3), (5) следует, что при определении  $f'$  или  $c$ , основанном на измерении  $S$ , относительная статистическая погрешность измерения

$$\Delta_s = \frac{2\sqrt{1-\alpha+\alpha \exp(-\mu_r d)} \sqrt{n_s}}{\sqrt{tpI_S} \pi \alpha \beta \sigma_r d I_0(\sigma_r d/2) \exp[-(\mu_r + \sigma_r/2)d]} . \quad (7)$$

Чтобы определить мессбауэровские параметры или провести идентификацию фазового состава вещества, требуется установить положение монолиний на экспериментальном ГР-спектре. С этой целью необходимо выполнить математическую обработку последнего с помощью ЭВМ. В общем случае математическая обработка заключается в приближении экспериментального ГР-спектра совокупностью монолиний заданной формы. Точность этого приближения будет зависеть не только от используемой для математической обработки вычислительной программы, но и от  $\Delta_A$  — относительной статистической погрешности измерения  $A$ . Из (1), (3), (5) имеем выражение для  $\Delta_A$ , которое представляет собой соотношение «сигнал—шум»:

$$\Delta_A = \frac{\sqrt{1-\alpha+\alpha \exp(-\mu_r d)} \sqrt{1-A/N_\infty}}{\sqrt{tpI_S} \pi \alpha \beta \sigma_r d I_0(\sigma_r d/2) \exp[-(\mu_r + \sigma_r/2)d]} . \quad (8)$$

По определению можно записать

$$\alpha = I_r/I_S , \quad (9)$$

причем, учитывая (5), имеем

$$I_r = \int_{E_1}^{E_2} \left( \frac{dI_r}{dE} \right) dE; \quad I_S = \int_{E_1}^{E_2} \left( \frac{dI_S}{dE} \right) dE + \\ + \int_{E_1}^{E_2} \left( \frac{dI_{nr}}{dE} \right) dE , \quad (10)$$

где  $dI_r/dE$  и  $dI_{nr}/dE$  — функции, описывающие регистрируемые спектры энергетических потерь соответственно резонансного и нерезонансного  $\gamma$ -излучений в результате их взаимодействия с детектором при отсутствии исследуемого образца.

Положение и ширина «окна» дискриминатора регистрирующего тракта спектрометра определяются положением нижней  $E_1$  и верхней  $E_2$  границ регистрации спектра энергетических потерь. Из (6)—(10) следует, что погрешности  $\Delta_a$ ,  $\Delta_s$ ,  $\Delta_A$  представляют собой функции от  $E_1$  и  $E_2$ . Определим условие выбора оптимальных значений  $E_1$  и  $E_2$ , при которых  $\Delta_a$ ,  $\Delta_s$ ,  $\Delta_A$  минимальны. Минимизируя (6)—(8) по  $E_1$  и  $E_2$  с учетом (9), (10), получаем следующее относительно простое условие нахождения  $E_1$  и  $E_2$ :

$$\left( \frac{dI_r}{dE} \right) / \left( \frac{dI_S}{dE} \right)_{E=E_1} = \left( \frac{dI_r}{dE} \right) / \left( \frac{dI_S}{dE} \right)_{E=E_2} = \alpha F(\alpha) , \quad (11)$$

$$F(\alpha) = [2 - \alpha + \alpha \exp(-\mu_r d_{\text{эфф}})]^{-1} ,$$

где  $d_{\text{эфф}}$  — некоторая эффективная толщина исследуемого образца, причем для случаев идентификации фазового состава, определения мессбауэровских параметров, получения  $f'$  и  $c$  через измерение  $A$  расчет дает

$$d_{\text{эфф}} = d - \mu_r^{-1} \ln[1 - \beta[1 - I_0(\sigma_r d/2) \exp(-\sigma_r d/2)]],$$

а для случая определений  $f'$  и  $c$  через измерение  $S$  имеем

$$d_{\text{эфф}} = d.$$

На спектре энергетических потерь регистрируемого  $\gamma$ -излучения пик полного поглощения  $\gamma$ -квантов диапазона энергий рентгеновского излучения имеет гауссову форму [4]. На рис. 1 представлен фрагмент спектра энергетических потерь резонансного  $\gamma$ -излучения энергии 14,4 кэВ мессбауэровского изотопа  $^{57}\text{Co}$ , содержащий пик полного поглощения. Видно, что пик полного поглощения резонансного  $\gamma$ -излучения хорошо описывается гауссовой линией. Для простоты дальнейшего анализа будем полагать, что в области пика полного поглощения резонансного  $\gamma$ -излучения фон не меняется, т. е. функция  $dI_{nr}/dE$  постоянна. В связи с изложенным выше, рассмотрим решение уравнения (11), когда  $dI_r/dE$  представляет собой линию гауссовой формы, отношение амплитуды которой к фону равно  $\eta$ , и ширина данной линии на половине ее высоты  $\omega_i$ . Тогда, согласно (11), положение середины «окна» дискриминатора должно соответствовать положению максимума регистрируемого пика резонансного  $\gamma$ -излучения на спектре энергетических потерь последнего. Ширина  $\omega_i$  «окна» дискриминатора спектрометра, при которой достигается минимум относитель-

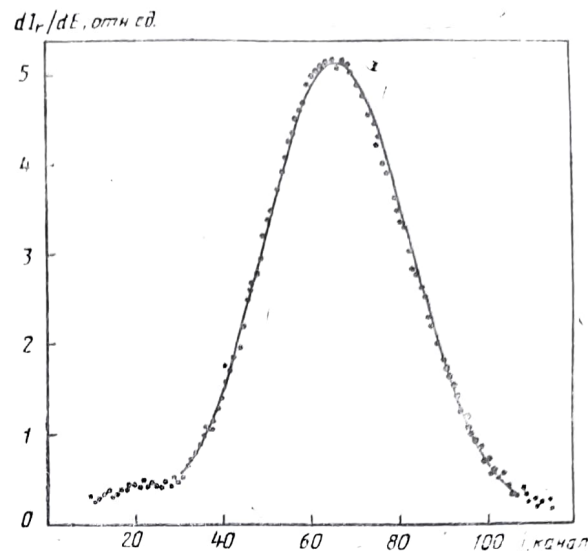


Рис. 1. Фрагмент спектра энергетических потерь резонансного  $\gamma$ -излучения мессбауэровского изотопа  $^{57}\text{Co}$  при взаимодействии его со сцинтилляционным кристаллом Na I (Tl) толщиной около 100 мкм

ной статистической погрешности измерения в ГР-эксперименте, является корнем уравнения

$$2x = [\exp(x^2) - \eta \exp(-\mu_r d_{\text{эфф}})] \int_0^x dy \exp(-y^2); \quad (12)$$

$$x = \omega_i \sqrt{\ln 2 / \omega_i}.$$

Из (12) следует, что  $\omega_i$  зависит не только от соотношения «сигнал—шум», но и от параметра  $\mu_r d_{\text{эфф}}$ , который в общем случае определяется характеристиками исследуемого образца  $\mu_r$ ,  $\sigma_r$ ,  $d$  и используемого мессбауэровского источника  $\beta$ . На рис. 2 показана зависимость  $\omega_i$  от  $\eta$  для различных значений  $\mu_r d_{\text{эфф}}$ . При отклонении значения  $\omega$  от  $\omega_i$  величина  $\Delta_{a(s, A)}$  возрастает, как это показано для  $\mu_r d_{\text{эфф}}=2$  (рис. 3). Условие  $\mu_r d_{\text{эфф}}=2$  соответствует, в частности, случаю проведения ГР-эксперимента, когда концентрация анализируемого вещества мала в исследуемом образце [1]. Согласно рис. 3, при отклонении  $\omega$  от  $\omega_i$  в меньшую сторону величина  $\Delta_{a(s, A)}$  возрастает больше, чем при отклонении  $\omega$  от  $\omega_i$  в большую сторону. Кроме того, при отклонении  $\omega$  от  $\omega_i$  рост  $\Delta_{a(s, A)}$  уменьшается с увеличением  $\eta$ . В результате отклонения  $\omega$  от

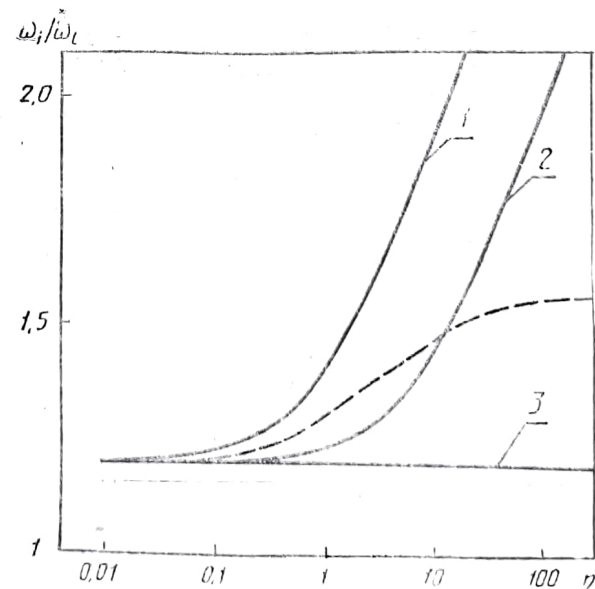


Рис. 2. Зависимости  $\omega_i/\omega_l$  (—) и  $\omega_0/\omega_l$  (---) от  $\eta$  для  $\mu_r d_{\text{эфф}}=0$ ; 2 и  $\infty$  (соответственно кривые 1, 2, 3)

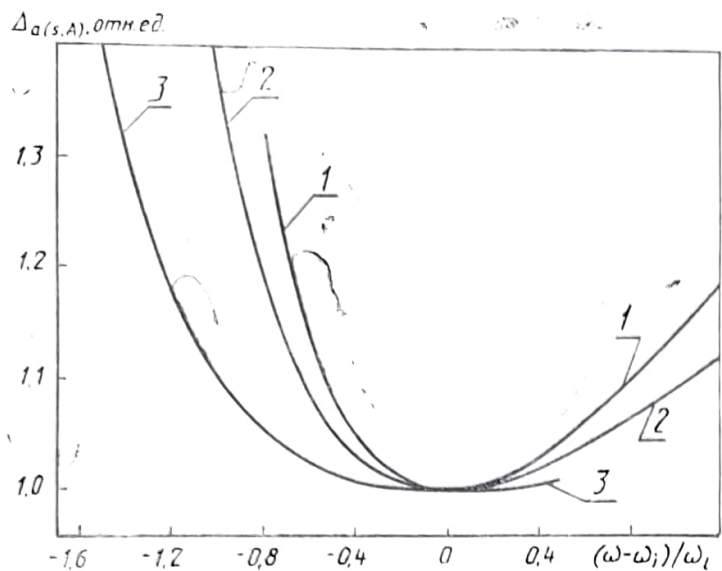


Рис. 3. Относительная зависимость  $\Delta_{a(s, A)}$  от  $(\omega - \omega_i)/\omega_i$  для  $\mu_r d_\phi = 2$  при  $\eta = 1; 10; 100$  (соответственно кривые 1, 2 и 3)

$\omega_i$  возрастание  $\Delta_{a(s, A)}$  становится большим с увеличением  $\mu_r d_\phi$  (рис. 4).

Как указывалось выше, достаточно часто в ГР-эксперименте характеристики исследуемого образца неизвестны. Например, при фазовом анализе вещества значение  $\sigma_r$  может быть установлено только после определения концентрации исключаемой фазы. Поэтому рассчитать заранее  $\omega_i$  не представляется возможным. В связи с этим возникает проблема выбора такого значения  $\omega$ , при котором максимально возможная погрешность измерения  $A, f'$  и  $s$  была бы минимальна. Данное значение  $\omega$  является оптимальным  $\omega_0$ . Согласно расчету, при оптимальной ширине «окна» дискриминатора относительное увеличение  $\Delta_{a(s, A)}$  в результате отклонения  $\omega$  от  $\omega_i$  должно быть одинаково для двух крайних случаев:  $d_\phi = 0$  и  $\infty$  (см. рис. 4). На рис. 2 приведены результаты расчета зависимости  $\omega_0/\omega_i$  от  $\eta$ . Согласно выполненному расчету, отношение  $\omega_0/\omega_i$  изменяется всего лишь от 1,4 до 1,6 в диапазоне значений  $\eta$  от 4 до 1000. Обычно в ГР-эксперименте при применении для регистрации резонансного  $\gamma$ -излучения сцинтиляционного, полупроводникового или газоразрядного детекторов значение  $\eta$  лежит именно в этом диапазоне. Как показывают расчеты и рис. 4, при  $\omega = \omega_0$  и  $\eta \leq 1000$  величина  $\Delta_{a(s, A)}$  может превышать свое минимальное значение не

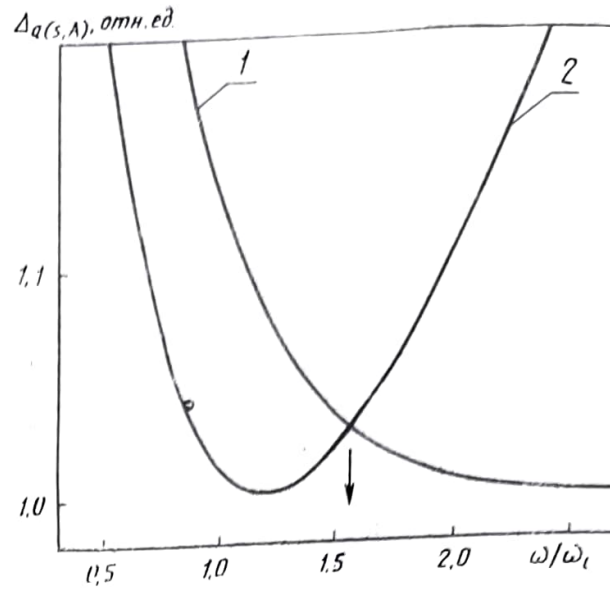


Рис. 4. Относительная зависимость  $\Delta_{a(s, A)}$  от  $\omega/\omega_i$  при  $\eta = 100$  для  $\mu_r d_\phi = 0$  и  $\infty$  (соответственно кривые 1 и 2). Стрелкой указано значение  $\omega_0/\omega_i$  при  $\eta = 100$

более, чем в 1,04 раза. Это не принципиально. Следовательно, не имеет смысла в каждом ГР-эксперименте устанавливать ширину «окна» дискриминатора равную  $\omega_i$ . Достаточно в процессе эксплуатации мессбауэровского источника один раз установить ширину «окна», равной  $\omega_0$ .

Таким образом, можно сформулировать общее правило: в ГР-эксперименте в геометрии пропускания ширина «окна» дискриминатора регистрирующего тракта спектрометра должна составлять полторы ширины регистрируемого пика резонансного  $\gamma$ -излучения на половине его высоты. При этом положение середины «окна» дискриминатора должно соответствовать положению максимума регистрируемого пика резонансного  $\gamma$ -излучения.

## ЛИТЕРАТУРА

- Синицын С. В. // ПТЭ. — 1992. — № 3. — С. 79.
- Быков Г. А., Фам Зуи Хиен // ЖЭТФ. — 1962. — Т. 43. — Вып. 3(9). — С. 909.
- Немец О. Ф., Гофман Ю. В. Справочник по ядерной физике. — Киев: Наукова думка, 1975.
- Heydorn K., Lada W. // Analytical Chemistry. — 1972. — V. 44. — N 14. — P. 12313.